

## ผลลัพธ์ของการดูดซับกับการแยกสารในคอลัมน์แก๊สโซลิดขนาดสั้น

ภัทรภรณ์ แก้วกุล<sup>1</sup> และ ณิต ฤทธิ์ณรงค์<sup>2</sup>

มหาวิทยาลัยเทคโนโลยีพระจอมเกล้าธนบุรี 83 หมู่ 8 ท่าข้าม บางขุนเทียน กรุงเทพฯ 10150

รับเมื่อ 15 มีนาคม 2549 ตอบรับเมื่อ 1 กุมภาพันธ์ 2550

### บทคัดย่อ

แก๊สโซลิดโครมาโตกราฟีได้รับความนิยมในการแยกแก๊สอินทรีย์และสารอินทรีย์ที่มีขนาดโมเลกุลเล็กๆ สำหรับสารอินทรีย์ที่มีโมเลกุลขนาดใหญ่ ค่าพลังงานอิสระของการดูดซับนั้นสูงมาก นั่นคือ แรงยึดเหนี่ยวสารกับคอลัมน์สูงมาก และการชำระสารอินทรีย์ขนาดใหญ่ออกจากคอลัมน์ต้องใช้อุณหภูมิคอลัมน์สูงมากหรือใช้เวลา yanana ซึ่งถือเป็นจุดด้อยของคอลัมน์แบบ GSC ใน การแยกสารอินทรีย์โมเลกุลขนาดใหญ่ จากการศึกษาโดยการแยกค่าพลังงานอิสระของการดูดซับสารออกเป็นสองส่วน คือส่วนของหมู่ฟังก์ชัน ( $\Delta G_0$ ) กับหมู่เมทิลีน ( $\delta G$ ) ทำให้ทราบว่าพลังงานอิสระที่เกิดจากหมู่เมทิลีนนั้นมีค่าสูงคือ  $-0.549$  กิโลแคลอรี่ต่ออะตอมคาร์บอน ในคอลัมน์ความยาว  $50$  ซม. แต่ใน GLC (คอลัมน์ BP-1) ค่าพลังงานอิสระของหมู่เมทิลีนนั้นมีค่าต่ำกว่าคือ  $-0.332$  กิโลแคลอรี่ต่ออะตอมคาร์บอน การศึกษานี้ได้นำมาค่าพลังงานอิสระของหมู่เมทิลีนที่สูงนี้มาใช้ประโยชน์ โดยลดความยาวคอลัมน์ลง เพื่อแยกสารน้ำมันและแอลกอฮอล์ (*n*-alkanes;  $C_{12}$ - $C_{18}$ ) และกรดไขมันและกลูโคสไอลายยา (linear saturated fatty alcohols;  $C_{22}$ - $C_{34}$ ) จากไขรำข้าวได้ด้วยคอลัมน์ที่มีความยาวเพียง  $20$  ซม.

**คำสำคัญ :** แก๊สโซลิดแคพิลารีคอลัมน์ / ความยาวคอลัมน์ / ค่าทางเทอร์โมไดนา米ก

<sup>1</sup> นักศึกษาระดับบัณฑิตศึกษา สาขาวิชาเทคโนโลยีชีวเคมี คณะทรัพยากรชีวภาพและเทคโนโลยี

<sup>2</sup> รองศาสตราจารย์ สาขาวิชาเทคโนโลยีชีวเคมี คณะทรัพยากรชีวภาพและเทคโนโลยี

## Free Energy of Adsorption and Separation in Ultra-short Gas Solid Chromatographic Column

Phattaraporn Kaewkool<sup>1</sup> and Kanit Krisnangkura<sup>2</sup>

King Mongkut's University of Technology Thonburi, 83 Moo 8 Thakham, Bangkok 10160

Received 15 March 2006 ; accepted 1 February 2007

### Abstract

Gas solid chromatography (GSC) has been widely used for separation of permanent gases and small organic compounds. For larger organic compounds, their free energies of adsorption are very high. Therefore, very high temperature or very long time is required to elute these compounds out of the GSC column. This is the major drawback of GSC. When the standard free energy of adsorption was subdivided into two parts, the free energy contributed from the functional group ( $\Delta G_0$ ) and the free energy contributed from the methylene group ( $\delta G$ ), it is found that  $\delta G$  is very high (-0.549 Kcal/carbon atom) while the  $\delta G$  of BP1 column is only -0.332 Kcal/carbon atm. The high value of  $\delta G$  is considered to be advantageous that larger organic compounds can be separated on a short or ultra-short column. Normal alkanes ( $C_{12}$  -  $C_{18}$ ) and fatty alcohols ( $C_{22}$  -  $C_{34}$ ) from rice bran wax are used as models for the separations on an ultra-short (20 cm.) GSC column.

**Keywords :** Gas Solid Capillary Columns / Column Length / Thermodynamic Potential

<sup>1</sup> Graduate Student, Division of Biochemical Technology, School of Bioresources and Technology.

<sup>2</sup> Associate Professor, Division of Biochemical Technology, School of Bioresources and Technology.

## 1. บทนำ

คอลัมน์แบบท่อเปิดผนังพรุน (porous layer open tubular, PLOT) ถูกพัฒนาขึ้นมาใช้แทนคอลัมน์แบบแพด (packed column) ในระบบแก๊สโคมากोடกราฟีแบบแก๊ส-ของแข็ง (Gas Solid Chromatography; GSC) โดย Golay ในปี ค.ศ. 1958 [1] วัสดุการค้นพบที่เรียกว่าสารดูดซับจะอยู่บนผนังท่อที่มีความพิเศษอันเกิดจากการกัดกร่อนด้วยสารเคมี หรือการตกตะกอนของของแข็งต่างๆ เช่น ซิลิกา (silica) หรือผลึกของสารเคมี ในปี ค.ศ. 1962 Mohnke และ Saffert [2] นำซิลิกามาใช้เป็นสารดูดซับในคอลัมน์แบบ PLOT เนื่องจากพิวิชิลิกาไม่คิดความเหลือย และไม่ทำปฏิกิริยา กับสาร มีชื่อทางการค้าคือ GS-GasPro ของบริษัท J&W Scientific และ Silica PLOT ของบริษัท Chrompack นำไปใช้แยกแก๊ส สารน้ำมันมัลแอลเคนสายสั้นๆ (light n-alkanes ; C<sub>1</sub>-C<sub>10</sub>) หรือสารอินทรีย์ที่มีโมเลกุลขนาดเล็ก [3]

การเคลื่อนที่ของสารในโคมากอตกราฟีเป็นปรากฏการณ์ ที่ค่อนข้างซับซ้อน การอธิบายพฤติกรรมการเคลื่อนที่ของสารในโคมากอตกราฟีนั้น สามารถอธิบายได้โดยใช้ทฤษฎีเพลท (plate theory; Martins และ Syngle) [4] และ ทฤษฎีอัตราเร็ว (rate theory; van Deemter และคณะ) [5] ทั้งสองทฤษฎีจะช่วยเสริมให้เข้าใจโคมากอตกราฟีได้ดีขึ้น ซึ่งทฤษฎีเพลทของ Martins และ Syngle [4] นั้น เข้าใจได้ง่ายสำหรับนักเคมีทั่วไป และ Martins [6] ได้แยกพลังงานอิสระมาตรฐานของการละลาย (free energy of solution; ( $\Delta G^0$ ) ของสารน้ำมัลแอลเคนและสารที่มีหมุ่ฟังก์ชันอ่อนออกเป็นสองส่วน คือ ส่วนของหมุ่ฟังก์ชัน (functional group; ( $\Delta G_0$ ) กับโซไซโตรคาร์บอน (methylene group;  $\delta G$ ) ดังสมการที่ (1) เมื่อ  $z$  คือจำนวนคาร์บอน

$$\Delta G^0 = \Delta G_0 + z\delta G \quad (1)$$

จากสมการที่ 1 Krisnangkura และคณะ [7] นำมาเชื่อมความสัมพันธ์กับค่า K (สัมประลิทธิ์การแพร่การกระจาย, distribution constant) และกระจายออกในเทอมของอุณหพลศาสตร์ดังสมการที่ (2) ทำให้สามารถดำเนินการเคลื่อนที่ของสารในโคมากอตกราฟีที่อุณหภูมิ

ต่างๆ ได้อย่างแม่นยำและถูกต้อง และนำไปใช้ในการวิเคราะห์เอกสารณ์สารโดยไม่ใช้สารอ้างอิงได้ในแก๊สโคมากอตกราฟีแบบแก๊ส-ของเหลว (Gas Liquid Chromatography; GLC)

$$\ln k = a + bz + \frac{c}{T} + \frac{dz}{T} \quad (2)$$

$$\text{โดย } a = \frac{\Delta S_0}{R} - \ln \beta, b = \frac{\delta S}{R},$$

$$c = -\frac{\Delta H_0}{R} \text{ และ } d = -\frac{\delta H}{R}$$

สมการที่ (2) นี้ ภัตราภรณ์ และ คณิต [8] พบว่า สามารถนำมาใช้กับ GSC ได้ แต่ค่าคงตัวของสมการใน GSC จะเปลี่ยนตามความยาวคอลัมน์ และค่าพลังงาน อิสระใน GSC มีค่าติดลบมากกว่า GLC มาก ดังนั้นการ อะสารออกจากคอลัมน์ GSC จึงต้องใช้อุณหภูมิสูงกว่ามาก เพื่อที่จะให้สารอะออกมาในเวลาใกล้เคียงกับ GLC ทว่า สารที่มีโมเลกุลขนาดใหญ่ อุณหภูมิที่ใช้นั้นสูงกว่าขีดจำกัด ของเครื่อง GC และคอลัมน์ และส่งผลให้ GSC ไม่ สามารถจะใช้กับสารอินทรีย์ขนาดใหญ่ได้ แต่ GSC โดย ทั่วไปจะทนอุณหภูมิได้สูง มี bleeding ต่ำ เหมาะสำหรับ การวิเคราะห์สารที่มีปริมาณต่ำมากๆ ดังนั้น อย่างการใช้ งานของคอลัมน์ GSC น่าจะใช้ได้ยาวนานกว่า จากการ วิเคราะห์ค่าพลังงานอิสระของการดูดซับของหมู่เมทิลีนของ สารน้ำมัลแอลเคน พบร่วมค่าพลังงานอิสระที่เปลี่ยนไปต่อ 1 หมู่เมทิลีนนี้ มีค่าสูงกว่าคอลัมน์ของ GLC มาก ดังนั้น การแยกสารน้ำมัลแอลเคนหรือสารในอนุกรรมฟังก์ชันอ่อน ที่มีจำนวน carbons ต่างกันเพียง 1 carbons จะต้องใช้ พลังงานที่ต่างกันค่อนข้างมากซึ่งอาจจะมองเป็นข้อดีหรือ ข้อด้อยของคอลัมน์ GSC ได้

การศึกษานี้มีมุ่งมองในแง่ดีของคอลัมน์ GSC คือ มี อำนาจการแยกสารต่อหนึ่งหน่วยเมทิลีนที่สูง การอะสาร อินทรีย์ขนาดใหญ่ให้ออกจากคอลัมน์ในเวลาที่เหมาะสม สามารถทำได้โดยการลดขนาดความยาวของคอลัมน์ลงให้มีขนาดสั้นมากๆ

## 2. ทฤษฎีการเคลื่อนที่ของสารใน GLC

Martin [6] ได้แบ่งค่าพลังงานอิสระมาตรฐาน ( $\Delta G^0$ ) ของการละลายของสารในอนุกรมฟังก์ชันเดียวทันออกเป็นสองส่วนดังสมการที่ (1)

จากความรู้พื้นฐานทางอุณหพลศาสตร์

$$\Delta G^0 = \Delta H^0 - T\Delta S^0 \quad (3)$$

$\Delta H^0$  คือ เอนทัลปีมาตรฐานของการละลาย (standard enthalpy of solution) และ ค่า  $\Delta S^0$  คือ ค่าเอนโทรปีมาตรฐานของการละลาย (standard entropy of solution)

เมื่อแทนค่าสมการที่ (3) ในสมการที่ (1) จะได้

$$\Delta G^0 = \Delta H_0 - T\Delta S_0 + z\delta H - zT\delta S \quad (4)$$

$$\text{หรือ } \Delta G^0 = (\Delta H_0 + z\delta H) - (T\Delta S_0 + zT\delta S) \quad (5)$$

และหากสมมุติให้การโอนถ่ายสารระหว่าง 2 วัสดุภาคอยู่ในสภาวะไกลัสมดุลมากๆ การนำสมการสมดุลภาพมาใช้ไม่ก่อให้เกิดความคลาดเคลื่อนมากนัก จะได้

$$\Delta G^0 = RTInk \quad (6)$$

แทนค่าสมการที่ (5) ลงในสมการที่ (6) จะได้

$$Ink = - \frac{(\Delta H_0 + z\delta H) - T(\Delta S_0 + zT\delta S)}{RT} \quad (7)$$

หรือ

$$Ink = - \frac{\Delta H_0}{RT} - \frac{z\delta H}{RT} + \frac{\Delta S_0}{R} + \frac{z\delta S}{R} - In\beta \quad (8)$$

$$\text{หรือ } Ink = a + bz + \frac{c}{T} + \frac{dz}{T} \quad (2)$$

โดย  $K = \beta k$ , เมื่อ  $\beta$  เป็นอัตราส่วนของวัสดุเคลื่อนที่ต่อวัสดุคงนิ่ง และ  $k$  คือตัวประกอบคงค้าง (retention factor)

$$k = \frac{t_R - t_M}{t_M} \quad (9)$$

$$\text{โดย } a = - \frac{\Delta S_0}{R} - In\beta, b = \frac{\delta S}{R},$$

$$c = - \frac{\Delta H_0}{R} \text{ และ } d = - \frac{\delta H}{R}$$

สมการที่ (2) หรือ (8) เป็นสมการที่ใช้ความล้มเหลวระหว่างเวลาคงค้างหรือตัวประกอบคงค้างกับพารามิเตอร์ทางอุณหพลศาสตร์ซึ่งถูกนำมาใช้ทำนายการเคลื่อนที่ของสารและใช้วิเคราะห์เอกลักษณ์สารได้แม่นยำ

หากการอนุโลมให้นำทฤษฎีทาง GLC มาใช้กับ GSC สมการที่ (2) หรือ (8) ก็จะสามารถใช้ทำนายการเคลื่อนที่ของสารใน GSC ได้แม่นยำเช่นกัน โดยเทอมต่างๆ ในอุณหพลศาสตร์ของสมการที่ (2) นั้นจะเปลี่ยนชื่อจากการละลายเป็นการดูดซับ

## 3. วัสดุ อุปกรณ์ และวิธีการทดลอง

### 3.1 สารตัวอย่าง

สารตัวอย่างที่ใช้ในการทดลอง ได้แก่ สารน้ำมันแลคเคน ( $C_8-C_{18}$ ) และกรดไขมันแอกโกลอิคอล ( $C_{24}-C_{30}$ ) เป็นสารมาตรฐานจากบริษัทชิกมา เคมิคอล (เซนทรัลล์ สหรัฐอเมริกา)

### 3.2 แก๊สโครโนโตกราฟี

เครื่องแก๊สโครโนโตกราฟรุ่น Shimadzu 14A มีตัวตรวจวัดแบบไฟล์ไอออนไซน์ (Flame Ionization Detector; FID) ต่อพ่วงกับเครื่องประมวลผล C-R4A (ทั้งหมดของบริษัท Shimadzu ประเทศญี่ปุ่น) การแยกวิเคราะห์สารทำโดยใช้คอลัมน์แบบแคเพลิลารี (PLOT) ได้แก่ คอลัมน์ GS-GasPro ขนาดความยาว 50 ซม. และ 20 ซม. เส้นผ่าศูนย์กลางภายใน 0.32 มม. จากบริษัท J&W Scientific (สหรัฐอเมริกา) โดยต่อปลายอินเจกเตอร์ด้วยคอลัมน์เบลล่า (hollow capillary) ขนาดความยาว 15 ซม. เส้นผ่าศูนย์กลาง 0.05 มม. เพื่อเพิ่มความดันลด (pressure drop) ส่วนฉีดสาร (injector) แบบ split-splitless อัตราการไหลของแก๊สในโตรเจน (แก๊สตัวพา) 0.7-1.5 มล./

นาที และอุณหภูมิของอินเจคเตอร์และตัวตรวจวัด (detector)  $300^{\circ}\text{C}$

### 3.3 การหาค่าคงที่ $a$ , $b$ , $c$ และ $d$ ของคอลัมน์

ค่าคงตัวทั้ง 4 ( $a$ ,  $b$ ,  $c$  และ  $d$ ) หากามวิธีของ Krisnangkura และคณะ [7] โดยการนีดสารมาตรฐานนอร์มัลแอลเคน ( $\text{C}_8\text{-C}_{12}$ ) ที่อุณหภูมิคงที่  $160\text{-}180^{\circ}\text{C}$  ท่างกันช่วงละ  $5^{\circ}\text{C}$

เมื่อกำหนดให้จำนวนคาร์บอน ( $z$ ) คงที่ สมการที่ (2) จะลดรูปลงเหลือ

$$\ln k = a' + \frac{b'}{T} \quad (10)$$

โดยที่  $a' = a + bz \quad (11)$

$$b' = c + dz \quad (12)$$

เมื่อเขียนกราฟระหว่าง  $a'$  กับ  $z$  จะได้จุดตัดแกน  $y$  เท่ากับ  $a$  และ ความชันเท่ากับ  $b$  และเมื่อเขียนกราฟระหว่าง  $b'$  กับ  $z$  จะได้จุดตัดแกน  $y$  เท่ากับ  $c$  และความชันเท่ากับ  $d$

เมื่อพิจารณาให้อุณหภูมิคงที่ สมการที่ (2) จะลดรูปลงเหลือ

$$\ln k = a'' + b'' z \quad (13)$$

โดยที่  $a'' = a + \frac{c}{T} \quad (14)$

$$b'' = b + \frac{d}{T} \quad (15)$$

เมื่อเขียนกราฟระหว่าง  $a''$  กับ  $1/T$  จะได้จุดตัดแกน  $y$  เท่ากับ  $a$  และความชันเท่ากับ  $c$  และเมื่อเขียนกราฟระหว่าง  $b''$  กับ  $1/T$  จะได้จุดตัดแกน  $y$  เท่ากับ  $b$  และความชันเท่ากับ  $d$

อย่างไรก็ตาม ค่าคงตัวทั้ง 4 สามารถคำนวณค่าได้ง่ายโดยแทนค่าเวลาคงค้าง อุณหภูมิ และจำนวนคาร์บอน ที่ได้ใส่ลงใน Microsoft Excel (version 8.0) ดังแสดงไว้ในผลการทดลองตารางที่ 1

### 3.4 การหาค่า $\Delta G_0$ และค่า $\delta G$ ของสารนอร์มัลแอลเคนที่แยกคอลัมน์บนแก๊สโซลิดแคปิลารี

จากค่าคงตัวทั้ง 4 ( $a$ ,  $b$ ,  $c$  และ  $d$ ) ของคอลัมน์ ที่ได้สามารถคำนวณหาค่า  $\Delta G_0$  และ  $\delta G$  เมื่อกำค่า  $a$ ,  $b$ ,  $c$  และ  $d$  ของสมการที่ (2) และสมการที่ (3) แทนลงในสมการที่ (1) ได้สมการที่ (16) คือ

$$\Delta G^0 = (-cR) - (a + \ln\beta)RT + z(-dR - bRT) \quad (16)$$

เมื่อค่า  $\Delta G_0$  คือ  $(-cR) - (a + \ln\beta)RT$  และค่า  $\delta G$  คือ  $(-dR - bRT)$

ในทางปฏิบัติค่า  $\ln\beta$  ของคอลัมน์แก๊สโซลิดนั้นหาไม่ได้ ดังนั้น  $\Delta G_0$  จึงหาค่าไม่ได้

### 3.5 การเตรียมกรดไขมันและออกออลจ้าวสำหรับ

ปฏิกิริยาไฮโดรลิสต์ (hydrolysis) ของกรดไขมันและออกออลจ้าวเตรียมโดยใช้ด่างเป็นตัวเร่งปฏิกิริยา ชั้งไขรำข้าว 0.1 กรัม ใส่หลอดทดลองฝาเกลียว (screw cap tube) ขนาดประมาณ 20 มล. เติมโทลูอีน (toluene) 10 มล. แล้วเชย่าให้เข้ากัน ดูดสารละลายมา 3 มล. ใส่หลอดทดลองฝาเกลียวขนาดประมาณ 20 มล. อีกหลอดเติมสารละลายโซเดียมไฮดรอกไซด์ (1 N NaOH ในเอทานอล 80 เปอร์เซ็นต์) 5 มล. ปิดฝาให้แน่นเชย่าให้เข้ากัน อุ่นปฏิกิริยาในอ่างควบคุมอุณหภูมิ (water bath) ที่อุณหภูมิ  $80^{\circ}\text{C}$  เป็นเวลา 8 ชั่วโมง โดยการตลดเวลา ตั้งทึ้งให้เย็นที่อุณหภูมิห้อง เติมสารละลายโซเดียมคาร์บอเนต (1 N  $\text{Na}_2\text{CO}_3$  ในน้ำกลั่น) อุ่นๆ 10 มล. เชย่าให้เข้ากัน เหวี่ยงให้แยกชั้นตัวโดยเครื่องบันヘวี่ยง (centrifuge) ใช้

พลาสเจอร์ปีเปตค่ายา ดูดซึมน้ำในหลอดทดลองขนาด 10 มล. หลังจากนั้นล้างด้วยน้ำกลั่น 1 มล. 2-3 ครั้ง เติมผงโซเดียมชัลเฟตพลอยด้น้ำ ( $\text{anh.Na}_2\text{SO}_4$ ) ลงไปเล็กน้อย เพื่อตัดน้ำที่ติดค้างออก เขย่าและตั้งทิ้งไว้สักครู่สารละลายจะใส เก็บส่วนใส่หลอดทดลองอันใหม่แล้วนำไปทำให้แห้งด้วยแก๊สไนโตรเจน เพื่อนำไปวิเคราะห์ด้วยเครื่อง GC ต่อไป

**ตารางที่ 1** ค่าลอการิทึมธรรมชาติของตัวประกอบคงค้าง ( $\ln k$ ) ของสารนอร์มัลแอลเคนที่แยกบนคอลัมน์ GS-GasPro (50 ซม. x 0.32 มม.) ที่อุณหภูมิ 160-180 °ช

z	Natural logarithm of retention factor ( $\ln k$ )					Intercept (a')	Slope (b')	$R^2$
	160 °ช	165 °ช	170 °ช	175 °ช	180 °ช			
	2.309*	2.282*	2.257*	2.231*	2.207*			
8	1.440	1.288	1.131	0.970	0.810	-12.864	6198.77	1.0000
9	2.163	1.991	1.817	1.638	1.464	-13.686	6867.40	1.0000
10	2.872	2.675	2.490	2.295	2.103	-14.507	7529.21	0.9999
11	3.595	3.377	3.180	2.966	2.756	-15.342	8203.55	0.9998
12	4.312	4.073	3.858	3.629	3.398	-16.284	8922.05	0.9998
Intercept a''	-4.300	-4.277	-4.323	-4.346	-4.363	-6.041	761.47	
Slope b''	0.718	0.696	0.682	0.665	0.647	(a)	(c)	0.8945
$R^2$	1.0000	1.0000	1.0000	1.0000	1.0000	-0.850	678.27	

\*  $1/T \times 10^{-3}$  ( $\text{K}^{-1}$ )

แทนค่า a, b, c และ d ลงในสมการที่ (2) จะได้

$$\ln k = -6.041 - 0.850z + \frac{761.47}{T} + \frac{678.27z}{T} \quad (17)$$

เมื่อนำสมการที่ (17) นี้ไปคำนวณค่าเวลาคงค้างสารที่จะออกจากคอลัมน์ GS-GasPro ที่อุณหภูมิต่างๆ ให้ผลดังแสดงในตารางที่ 2 ผลการทำนายให้ค่าคงค้างเฉลี่ยนสูงสุด 0.134 นาที หรือคิดเป็นร้อยละ 1.11 นั่นคือ GSC เมื่อใช้คอลัมน์ขนาดลักษณะมากๆ มาแยกสารยังคงสามารถใช้ทฤษฎีการทำนายสารของ GLC ที่เสนอโดย Krisnangkura และคณะ [7] ได้ แต่ GSC ค่าคงตัวทั้ง 4 ของคอลัมน์

GSC มีค่าเปลี่ยนแปลงไปตามความเยาว์ของคอลัมน์ [8] ซึ่งใน GLC ค่าคงตัวทั้ง 4 ของคอลัมน์จะไม่เปลี่ยนแปลงตามความเยาว์คอลัมน์ [9]

และเมื่อวิเคราะห์ในรูปของค่าพลังงานอิสระจะได้ค่าพลังงานอิสระที่เปลี่ยนไปต่อ 1 หมู่เมทิลีนสำหรับสารนอร์มัลออกเทน ( $z=8$ ) ที่อุณหภูมิ 200 °ช เท่ากับ -4.39 กิโลแคลอรีต่อโมล เปรียบเทียบกับค่าพลังงานอิสระที่เปลี่ยนไปต่อ 1 หมู่เมทิลีนของคอลัมน์ GS-GasPro ความเยาว์ 2 ม. รายงานโดยภารภรณ์และคณะ [8] ดังสมการทำนายค่าเวลาคงค้างของสารสมการที่ (18)

$$\ln k = -1.610 - 1.106z - \frac{1161.03}{T} + \frac{810.53z}{T} \quad (18)$$

ซึ่งคำนวนค่าพลังงานอิสระที่เปลี่ยนไปต่อ 1 หมู่เมทิลินของสารนอร์มอลออกเทนที่อุณหภูมิ  $200^{\circ}\text{C}$  ได้เท่ากับ -4.56 กิโลแคลอรีต่้อมล

จากการเปรียบเทียบค่าพลังงานอิสระที่เปลี่ยนไปต่อ 1 หมู่เมทิลินของคอลัมน์ GSC ที่มีขนาดความยาวลั้นลง พบว่าค่าพลังงานอิสระที่ต้องใช้ในการชะหมู่เมทิลินออกจากคอลัมน์นั้นลดลงจาก -0.570 กิโลแคลอรีต่ออะตอมคาร์บอน ในคอลัมน์ความยาว 2 ม. เหลือ -0.549 กิโลแคลอรีต่ออะตอมคาร์บอน ในคอลัมน์ความยาว 50 ซม. ซึ่งใน GLC ค่าพลังงานอิสระที่ต้องใช้ในการชะหมู่เมทิลินออกจากคอลัมน์จะมีค่าเท่ากับ -0.332 กิโลแคลอรีต่ออะตอมคาร์บอน ในคอลัมน์ BP-1 ความยาว 25 ม. รายงานโดย Aryusuk และ Krisnangkura [10] และเมื่อเปรียบเทียบ GLC กับ GSC จะเห็นได้ชัดเจนว่าค่าพลังงานอิสระที่

ต้องใช้ในการชะหมู่เมทิลินออกจากคอลัมน์นั้นแตกต่างกันมาก นั่นคือ ใน GSC เมื่อความยาวคอลัมน์ลั้นลงค่าพลังงานอิสระที่เปลี่ยนไปต่อ 1 หมู่เมทิลินจะลดลงเป็นผลให้อุณหภูมิในการชะสารออกจากคอลัมน์ลดต่ำลง

การศึกษานี้ได้พิจารณาแยกค่าพลังงานอิสระของการดูดซับ (free energy of adsorption;  $\Delta G^{\circ}$ ) ของสารออกเป็นสองส่วน คือ ส่วนของหมู่ฟังก์ชัน ( $\Delta G_0$ ) กับหมู่เมทิลิน ( $\delta G$ ) ทำให้ทราบว่าแรงที่ยึดเหนี่ยวสารในคอลัมน์ GSC มาจากหมู่เมทิลินมากจึงต้องใช้อุณหภูมิที่สูงมากในการชะสารออกจากคอลัมน์ และด้วยข้อจำกัดอุณหภูมิของเครื่อง GC ทำให้คอลัมน์ GSC ไม่สามารถแยกสารอินทรีย์ไม่เลกุลขนาดใหญ่ได้ แต่เมื่อลดความยาวคอลัมน์ลงนับร้อยเท่าๆกัน สารอินทรีย์ไม่เลกุลขนาดใหญ่จึงถูกชะออกจากคอลัมน์ในเวลาที่เหมาะสม

ตารางที่ 2 ปริมาณที่เปลี่ยนตัวตามองค์ประกอบการคำนวณกับเวลาลดคงท่าจากการทดลองของสารเคมีกลุ่มแอลกอฮอล์ ( $C_8-C_{12}$ ) ที่แยกจากน้ำดื่มน้ำ (50 ซม.<sup>3</sup> × 0.32 ซม.) ที่อุณหภูมิ 160-180 ° $\text{C}$

Z	อุณหภูมิ														
	160 ° $\text{C}$ ( $t_M = 0.464$ )			165 ° $\text{C}$ ( $t_M = 0.476$ )			170 ° $\text{C}$ ( $t_M = 0.480$ )			175 ° $\text{C}$ ( $t_M = 0.482$ )			180 ° $\text{C}$ ( $t_M = 0.490$ )		
Exp	Cal	% $\Delta$	Exp	Cal	% $\Delta$	Exp	Cal	% $\Delta$	Exp	Cal	% $\Delta$	Exp	Cal	% $\Delta$	
8	2.42	2.44	0.60	2.20	-0.22	1.97	1.96	-0.41	1.75	1.75	0.00	1.59	1.60	0.53	
9	4.50	4.50	0.12	3.96	3.93	-0.65	3.43	3.40	-0.90	2.96	2.95	-0.42	2.61	2.61	0.05
10	8.67	8.73	0.74	7.38	7.43	0.64	6.27	6.25	-0.26	5.27	5.28	0.18	4.50	4.54	0.76
11	17.36	17.39	0.14	14.41	14.46	0.31	12.02	11.89	-1.11	9.84	9.79	-0.45	8.50	8.22	0.30
12	35.09	35.10	0.04	28.44	28.58	0.51	23.23	23.02	-0.89	18.64	18.57	-0.36	15.15	15.26	0.76

$$\% \Delta = [t_R(\text{cal}) - t_R(\text{exp})] / t_R(\text{exp}) \times 100, \quad t_R(\text{cal}) = kt_M + t_M$$

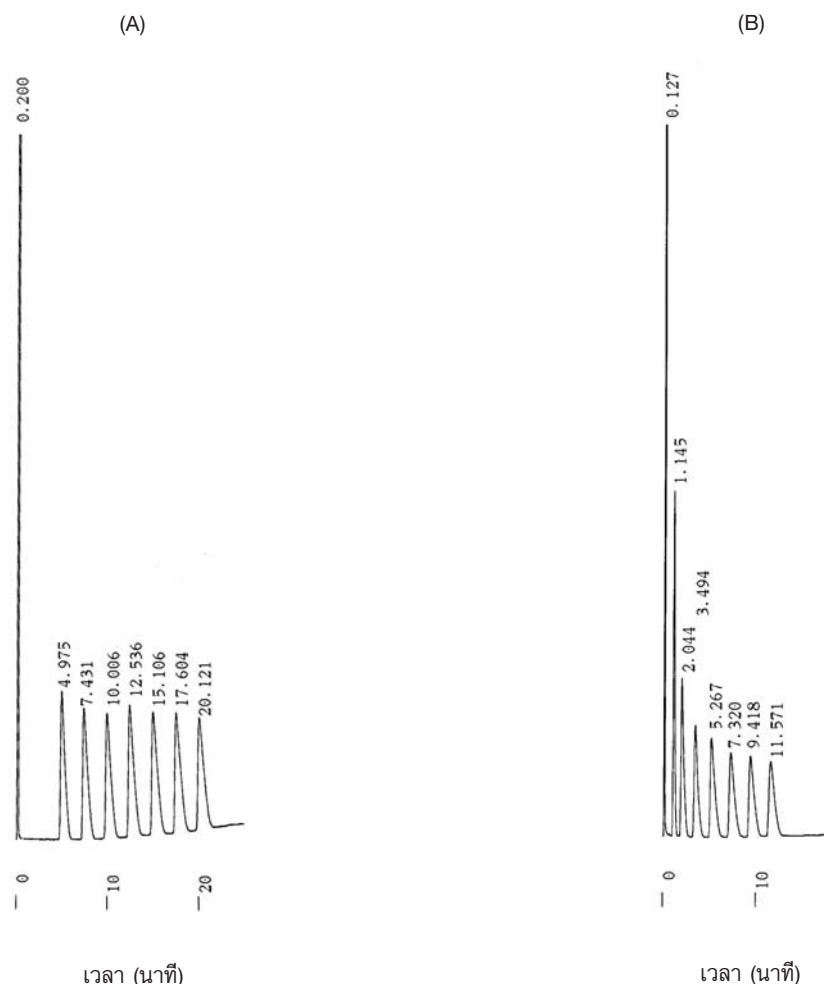
## 4.2 ผลการนำคอลัมน์ GSC ขนาดสั้นไปใช้ในการแยกสารไม่เลกลุกขนาดใหญ่

ดังที่ได้กล่าวไว้ข้างต้นว่าค่าคงตัวทั้ง 4 ของคอลัมน์ GSC นั้นมีค่าสูง การจะสารออกจากคอลัมน์จึงใช้เวลานานมาก ค่าพลังงานอิสระที่เปลี่ยนไปต่อ 1 หมู่เมธิลีนที่สูงนี้เป็นตัวชี้บอกว่าสารในอนุกรมฟังก์ชันเดียวกัน (homologous series) ที่มีจำนวนคาร์บอนต่างกันเพียงหนึ่งคาร์บอนนั้นต้องใช้เวลาชาต์ต่างกันมาก และเพื่อลดระยะเวลาชาต์ที่ต่างกันมากนั้นสามารถทำได้ 2 วิธีคือ เพิ่มอุณหภูมิ หรือลดความยาวคอลัมน์ลง การศึกษานี้เลือกใช้การลดความยาวคอลัมน์ลงเหลือเพียง 20 ซม. มาใช้ในการแยกสารนอร์มัลแอลเคนสายยาว (long chain; C<sub>12</sub>-C<sub>18</sub>) ที่โปรแกรมอุณหภูมิ 160-260 °ซ Initial hold time 2 นาที อัตราการเพิ่มอุณหภูมิ 5 °ช/นาที ดังโคลร์มาโตแกรมรูปที่ 1(B) และใช้เวลาสั้นลงมาก

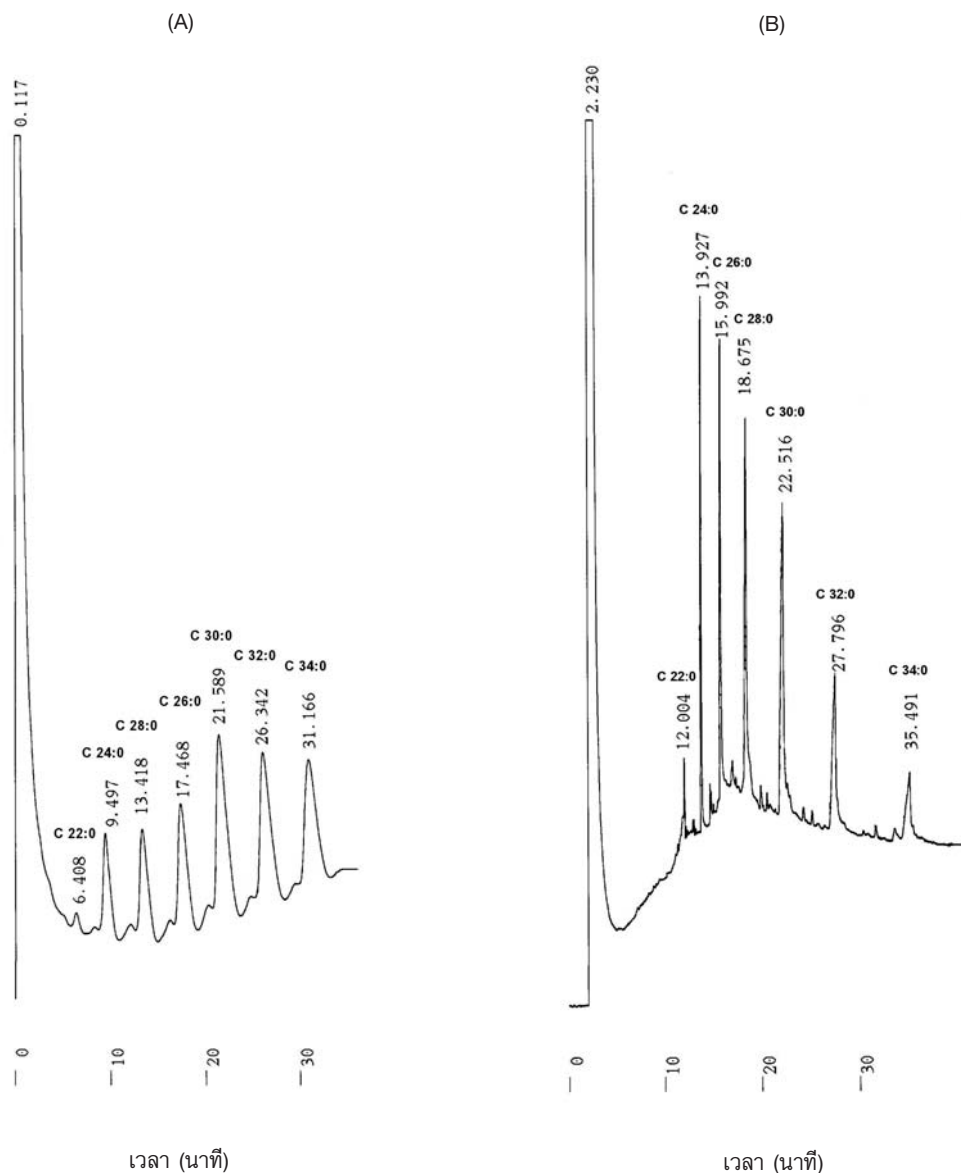
อย่างไรก็ตาม เวลาคงค้างสารนี้ยังคงลดลงได้อีกด้วยการเพิ่มอุณหภูมิสูง การตัดคอลัมน์ให้สั้นลงอีกจะเป็นการจำากในการใช้งาน การตัดแบ่งผิวคอลัมน์ เพื่อเปลี่ยนแบ่งค่าพลังงานอิสระของการดูดซับ (ให้ลดลง) น่าจะเป็นทางออกอีกทางหนึ่ง เมื่อนำสารเรอนโอบิลไตรเมทิลไซลิลไตรฟลูอโรมะเซทามีด (N,O-Bis(Trimethylsilyl)-Trifluoroacetamide ; BFTSA) ซึ่งเป็นตัวไซลิเลติง (silylating agent) เข้าไปในคอลัมน์ สารตัวนี้จะเข้าไปปิดหมู่ไฮดรอกซีของชิลิกอนทำให้ผิวคอลัมน์ลดความเป็นชี้วัล

พลังงานอิสระของการดูดซับสารนอร์มัลแอลเคนน่าจะลดลง และถูกชะออกจากการคอลัมน์ได้เร็วขึ้น ทางพีค (tailing) อาจหายไป [11] ผลการทดลองพบว่าคอลัมน์ GS-GasPro ขนาดความยาว 20 ซม. สามารถแยกสารนอร์มัลแอลเคนสายยาว (C<sub>12</sub>-C<sub>18</sub>) ที่อุณหภูมิต่ำลงดังที่คาดคะเนไว้ คือที่โปรแกรมอุณหภูมิ 140-250 °ช Initial hold time 2 นาที อัตราการเพิ่มอุณหภูมิ 5 °ช/นาที ดังโคลร์มาโตแกรมรูปที่ 1(B) และใช้เวลาสั้นลงมาก

ยิ่งไปกว่านั้นยังสามารถแยกสารในอนุกรมอื่นที่มีความมิชัว (polar) มากกว่าสารนอร์มัลแอลเคนได้ นั้นคือกรดไขมันแอลกอฮอล์สายยาว (linear saturated fatty alcohols; C<sub>22</sub>-C<sub>34</sub>) จากไขรำข้าวได้มาก ที่โปรแกรมอุณหภูมิ 220-300 °ช initial hold time 2 นาที อัตราการเพิ่มอุณหภูมิ 2.5 °ช/ต่อนาที ดังโคลร์มาโตแกรมรูปที่ 2 (A) ซึ่งประกอบด้วย docosanol (C<sub>22</sub>) 0.86 เปอร์เซ็นต์, tetracosanol (C<sub>24</sub>) 8.78 เปอร์เซ็นต์ hexacosanol (C<sub>26</sub>) 11.63 เปอร์เซ็นต์ octacosanol (C<sub>28</sub>) 15.08 เปอร์เซ็นต์ triacontanol (C<sub>30</sub>) 24.47 เปอร์เซ็นต์ docontanol (C<sub>32</sub>) 20.33 เปอร์เซ็นต์ และ tetracontanol (C<sub>34</sub>) 18.85 เปอร์เซ็นต์ ตามลำดับ และรูปที่ 2 (B) เปรียบเทียบให้เห็นโคลร์มาโตแกรมของสารชนิดเดียวกันที่แยกบนคอลัมน์ BP-1 (0.1 ม. x 12 ม.) ที่สภาวะโปรแกรมอุณหภูมิ 200 - 300 °ช initial hold time 3 นาที อัตราการเพิ่มอุณหภูมิ 10 °ช/นาที



**รูปที่ 1** โครมาโตแกรมของสารน้ำมันดีเซล ( $C_{12}$ - $C_{18}$ ) ที่แยกบนคอลัมน์ GS-GasPro (0.32 มม. x 20 ซม.)  
 (A) ที่สภาวะไประแกรมอุณหภูมิ 160-260 °ซ initial hold time 2 นาที อัตราการเพิ่มอุณหภูมิ 5 °ซ/นาที เมื่อไม่มีการดัดแปลงผิวคอลัมน์  
 (B) ที่สภาวะไประแกรมอุณหภูมิ 140-250 °ซ initial hold time 2 นาที อัตราการเพิ่มอุณหภูมิ 5 °ซ/นาที เมื่อมีการดัดแปลงผิวคอลัมน์ด้วย BFTSA  
 ต่อปลายอินเจกเตอร์ด้วยคอลัมน์เบล่า (0.05 มม. x 15 ซม.) อุณหภูมิอินเจกเตอร์และติเก็ตเตอร์ 260 °ซ ฉีดสาร 1 ไมโครลิตร



รูปที่ 2 โครมาโตแกรมของกรดไขมันและกลอยออล์จากไข่รำข้าว

- (A) แยกบนคอลัมน์ GS-GasPro (0.32 มม. x 20 ซม.) ที่สภาวะไประการอุณหภูมิ 220- 300 °ซ initial hold time 2 นาที อัตราการเพิ่มอุณหภูมิ 5 °ช/นาที และต่อไปลายอินเจคเตอร์ด้วยคอลัมน์ เปลา (0.05 มม. x 15 ซม.) อุณหภูมิอินเจคเตอร์และดีเทคเตอร์ 300 °ช ฉีดสาร 1 ไมโครลิตร
- (B) แยกบนคอลัมน์ BP-1 (0.1 มม. x 12 ม.) ที่สภาวะไประการอุณหภูมิ 200 - 300 °ช initial hold time 3 นาที อัตราการเพิ่มอุณหภูมิ 10 °ช/นาที อุณหภูมิอินเจคเตอร์และดีเทคเตอร์ 300 °ช ฉีดสาร 1 ไมโครลิตร

## 5. สรุปผลการทดลอง

การเคลื่อนที่ของสารในคอลัมน์ขนาดสั้นของ GSC นั้นสามารถใช้สมการ GLC ที่เสนอโดย Krishnangkura และคณะ [7] ได้ แต่ค่าคงตัวของสมการใน GSC จะเปลี่ยนตามความยาวคอลัมน์ ซึ่งค่าพลังงานอิสระที่เปลี่ยนไปต่อ 1 หมู่เมทธิลีน ( $\delta G$ ) ใน GSC มีค่าลดลงเมื่อคอลัมน์มีขนาดสั้นลง ทำให้สามารถแยกสารในหมู่อ่อนกรุณรวมของมัลแลด เคนสายยา และกรดไขมันแอ落กอซอฟล์จากไขรำข้าวได้อย่างไรก็ตามคอลัมน์ขนาดสั้นมักจะมีปัญหาในเรื่องของความตัน ดังนั้นจึงต้องระวังให้มาก

ค่าพลังงานอิสระนี้น่าจะนำมาใช้ประโยชน์ในเชิงพัฒนาคอลัมน์ในระบบ GSC กล่าวคือ ค่าพลังงานอิสระมาตรฐาน ( $\Delta G^0$ ) ต่ำ สารจะถูกชะออกจากการคอลัมน์ได้รวดเร็ว เมื่อค่าพลังงานอิสระที่เปลี่ยนไปต่อ 1 หมู่เมทธิลีนมีค่าสูง ผลกระทบของพลังงานอิสระสูงจะต้องใช้พลังงานหรืออุณหภูมิในการแยกสารต่อ 1 หน่วยcarabin อนสูง แต่ค่าพลังงานอิสระที่เปลี่ยนไปต่อ 1 หมู่เมทธิลีนสูงจะมีผลให้สารสามารถแยกออกจากกันได้ดีกว่าที่อุณหภูมิเดียวกัน ดังนั้น สารดูดซับหรือของเหลวที่ใช้เคลือบคอลัมน์ควรจะมีค่าพลังงานอิสระของหมู่ฟังก์ชันต่ำ และค่าพลังงานอิสระที่เปลี่ยนไปต่อ 1 หมู่เมทธิลีนสูง ซึ่งจะทำให้สารชะออกจากการคอลัมน์ได้รวดเร็วและแยกสารแต่ละตัวออกจากกันได้ดี

## 6. เอกสารอ้างอิง

- Golay, M.J.E., 1958, *Gas Chromatography*, New York.
- Mohnke, M. and Saffert, W., 1962, *Gas Chromatography*, Germany.
- Zeeuw, J.D., 2002, "Development in Stationary Phase Technology for Gas Chromatography", *Trends in Analytical Chemistry*, Vol. 22, pp. 594-607.
- Martin, A.J.P. and Syngle, R.L.M., 1941, "A New form of Chromatogram Employing Two Liquid Phases, 1. A Theory of Chromatography, 2. Application to the Micro-Determination of The Higher Monoamino-Acids in Proteins", *Biochemical Journal*, Vol. 35, pp. 1358-1368.
- van Deemter, J.J., Zuiderweg, F.J., and Klinkenberg, A., 1956, "Longitudinal Diffusion and Resistance to Mass Transfer as Causes of Nonideality in Chromatography", *Chemical Engineering Science*, Vol. 5, pp. 271-289.
- Martin, A.J.P., 1950, "Some Theoretical Aspects of Partition Chromatography", *Biochemical Society Symposium (Partition Chromatography)*, Vol. 3, pp. 4-20.
- Krishnangkura, K., Tancharoon, A., Konkao, C., and Jeyashoke, N., 1997, "An Alternative Method for the Calculation of Equivalent Chain Length or Carbon Number of Fatty Acid Methyl Esters in Gas Chromatography", *Journal of Chromatographic Science*, Vol. 35, pp. 329-332.
- ภัตราภรณ์ แก้วภูล และ คณิต กฤษณ์กุร, 2548, "แรงกระทำระหว่างสารรวมมัลแลดเคนกับสารดูดซับในคอลัมน์แก๊สโซลิดแคเพลลารีคอลัมน์", วารสารศูนย์เครื่องมือวิจัยวิทยาศาสตร์และเทคโนโลยี, เล่มที่ 13, หน้า 37-46.
- Nilratnisakorn, S., Jeyashoke, N., and Krishnangkura, K., 1999, "Effect of Column Length on Forecasted Retention Times and Carbon Numbers in an Isothermal and Temperature-Programmed Gas Chromatography", *Science Asia*, Vol. 25, pp. 173-177.
- Aryusuk, K. and Krishnangkura, K., 2003, "Prediction of Gas Chromatographic Retention Times of Capillary Columns of Different inside Diameters", *Journal of Separation Science*, Vol. 26, pp. 1688-1692.
- คณิต กฤษณ์กุร, 2538, แก๊สโครมაโทกราฟี, มหาวิทยาลัยเทคโนโลยีพระจอมเกล้าธนบุรี, หน้า 117-135.